

Procjene maksimalnih godišnjih kratkotrajnih količina oborine na postaji Osijek

Geografska širina (ϕ): 45.50226° (661113.49E)

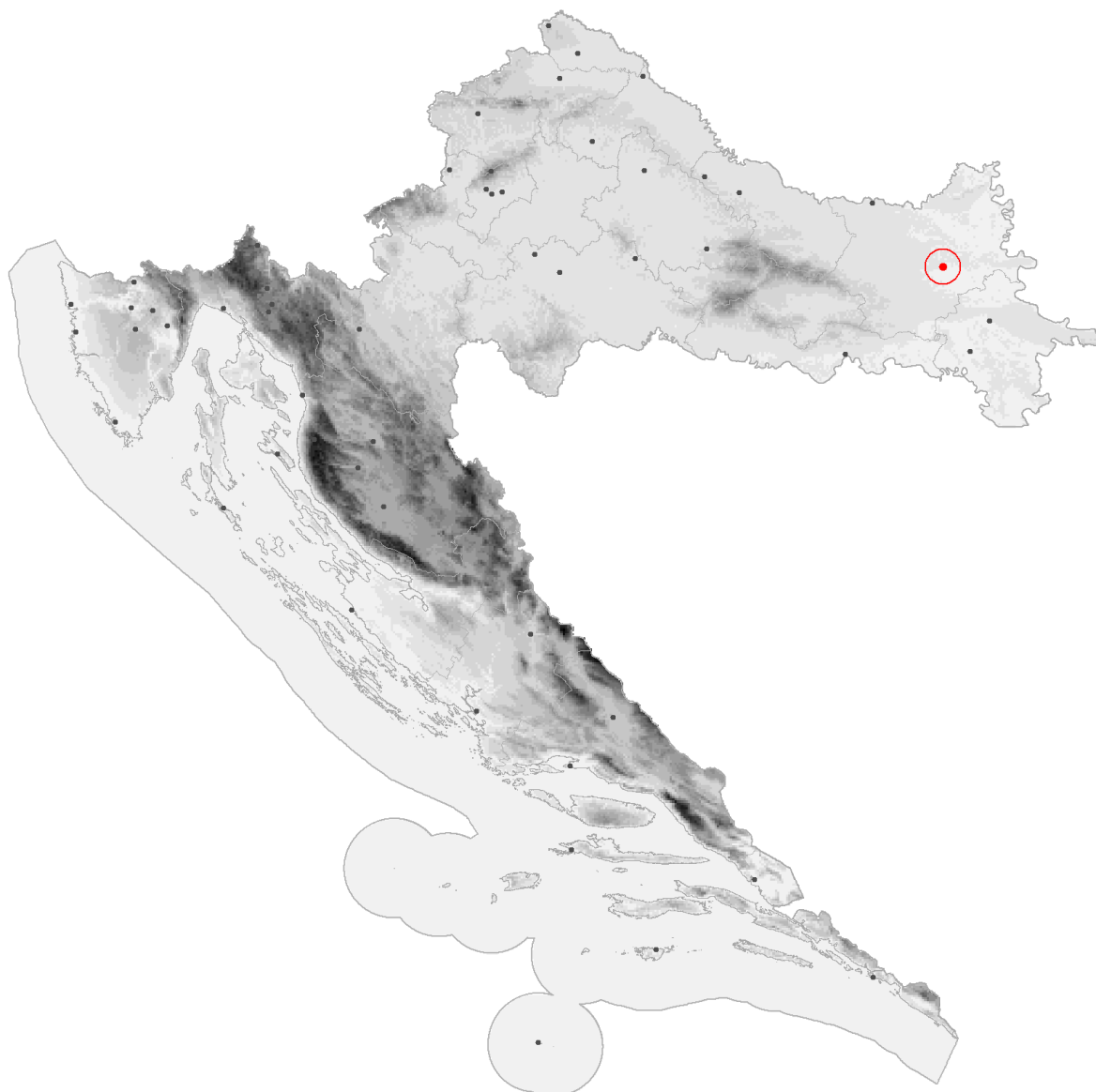
Geografska dužina (λ): 18.56168° (5042328.26N)

Nadmorska visina (h): 88 m

Razdoblje: 1961. – 2020.

Analizirani broj godina: 56 (93.3 %)

Nedostajuće godine: 4 (6.7 %) 1992, 1993, 1994, 1995



Najbliži ombrograf: Vinkovci, 32 km

Tablica 1.

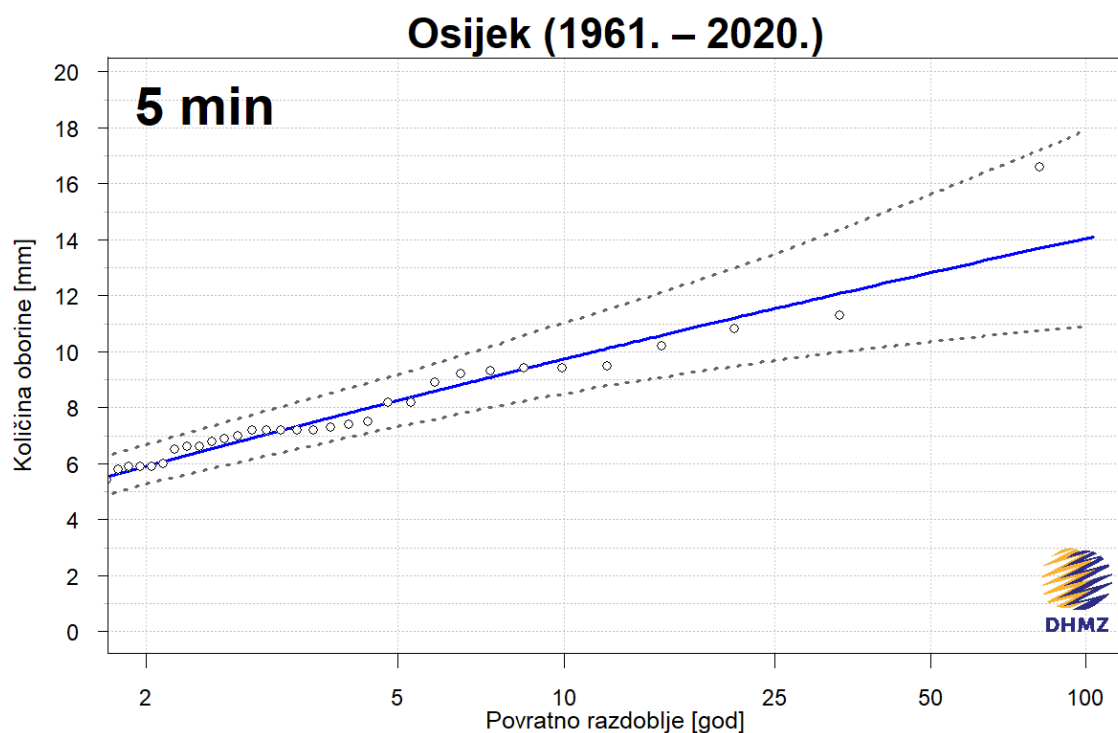
Osnovni statistički parametri oborine za različita trajanja: Rsred – srednjak [mm], StDev – standardna devijacija [mm], CV – koeficijent varijacije oborine, Rmaks – najveća registrirana količina oborine [mm] i pripadni datum i vrijeme, Tmaks – pripadno povratno razdoblje za Rmaks [god].
OSIJEK, razdoblje 1961. – 2020.

Trajanje	Rsred	StDev	CV	Rmaks	Datum/Vrijeme	Tmaks
5 min	6.3	2.6	0.41	16.6	1968-06-09 17:55:00	456
10 min	10.4	4.5	0.43	31.4	1968-06-09 17:55:00	312
20 min	15.4	7.0	0.45	47.7	1968-06-09 18:00:00	300
30 min	18.6	8.4	0.45	52.7	1968-06-09 18:10:00	250
40 min	20.7	9.4	0.45	54.5	1968-06-09 18:15:00	163
50 min	22.0	10.5	0.48	63.6	1968-06-09 18:00:00	240
60 min	23.1	11.3	0.49	69.3	1968-06-09 18:05:00	261
2 h	26.7	12.8	0.48	86.7	1968-06-09 18:40:00	441
3 h	29.0	12.9	0.44	88.8	1968-06-09 19:30:00	444
4 h	30.3	12.8	0.42	89.0	1968-06-09 19:55:00	449
6 h	32.4	12.9	0.40	89.0	1968-06-09 19:55:00	260
8 h	34.1	13.1	0.38	89.0	1968-06-09 19:55:00	208
12 h	37.7	15.1	0.40	91.0	1968-06-10 04:30:00	90
24 h	44.7	19.4	0.43	99.5	2002-05-29 11:00:00	44

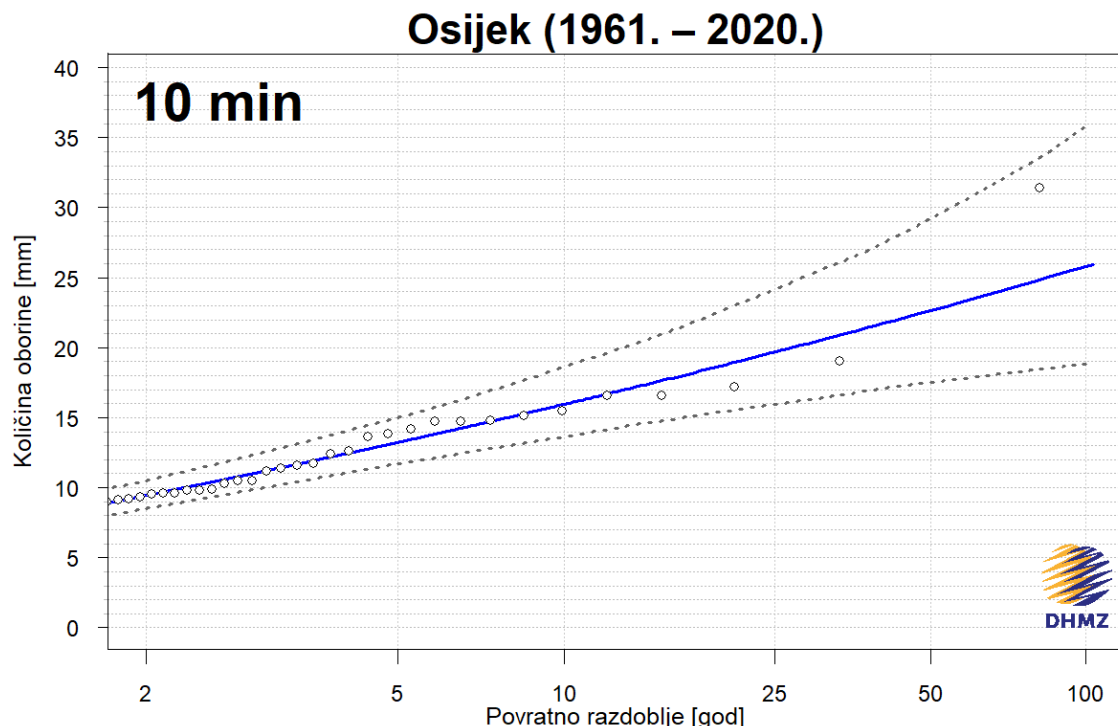
Tablica 2.

Procjene maksimalnih godišnjih količina oborine RT [mm] za različita trajanja i odgovarajuće donje (IPd) i gornje granice (IPg) 95%-tih intervala pouzdanosti za različita povratna razdoblja T (2, 5, 10, 25, 50 i 100 godina). **OSIJEK**, razdoblje **1961. – 2020.**

Trajanje	T2			T5			T10			T25			T50			T100		
	IPd	RT	IPg	IPd	RT	IPg	IPd	RT	IPg									
5 min	5.3	5.9	6.7	7.3	8.3	9.2	8.5	9.7	11.0	9.7	11.5	13.5	10.4	12.8	15.6	10.9	14.1	17.9
10 min	8.5	9.4	10.5	11.7	13.2	15.0	13.7	16.0	18.7	16.0	19.7	24.2	17.5	22.7	29.2	18.8	25.8	35.8
20 min	12.4	14.0	15.8	17.5	19.9	22.4	20.8	24.2	27.9	24.4	29.9	36.9	26.6	34.5	45.4	28.9	39.4	55.7
30 min	15.1	17.1	19.2	21.4	24.5	27.7	25.1	29.6	34.5	29.1	36.1	43.5	32.1	41.0	52.0	34.2	46.0	61.4
40 min	16.7	19.1	21.8	23.9	27.5	31.2	28.3	33.1	38.1	32.6	40.2	48.6	35.6	45.5	57.9	38.0	50.8	66.9
50 min	17.8	20.2	23.3	25.9	29.5	33.3	30.5	35.8	41.4	35.3	43.8	52.5	38.9	49.8	63.1	41.3	55.9	75.8
60 min	18.1	21.1	23.6	26.9	31.0	34.8	32.0	37.7	43.6	38.0	46.4	57.0	41.1	53.1	68.4	44.0	59.8	81.6
2 h	21.5	24.3	27.5	30.4	34.9	40.0	36.0	42.4	49.1	42.0	52.4	63.8	46.3	60.2	77.2	50.1	68.2	93.4
3 h	24.0	26.6	29.8	32.8	37.3	42.3	37.9	44.8	52.3	44.0	54.8	66.5	47.7	62.5	79.3	51.2	70.5	94.0
4 h	24.9	28.0	31.1	33.8	38.6	43.1	39.5	46.0	52.5	45.5	55.8	68.2	49.5	63.4	81.7	52.9	71.2	97.4
6 h	26.9	29.8	32.7	36.1	40.7	45.0	41.9	48.4	55.0	48.4	58.9	70.9	53.3	67.3	85.5	57.1	76.1	103.9
8 h	28.7	31.4	35.0	38.0	42.6	47.5	44.2	50.6	57.2	51.4	61.4	73.5	56.1	70.0	89.7	60.0	79.0	108.7
12 h	31.0	34.3	38.1	41.8	47.5	53.3	49.2	57.1	65.8	57.9	70.4	85.8	63.9	81.3	106.3	69.0	92.9	131.6
24 h	35.4	39.9	44.3	49.0	56.3	62.8	58.7	68.9	80.1	70.1	87.0	107.3	78.5	102.3	135.0	86.0	119.3	169.5

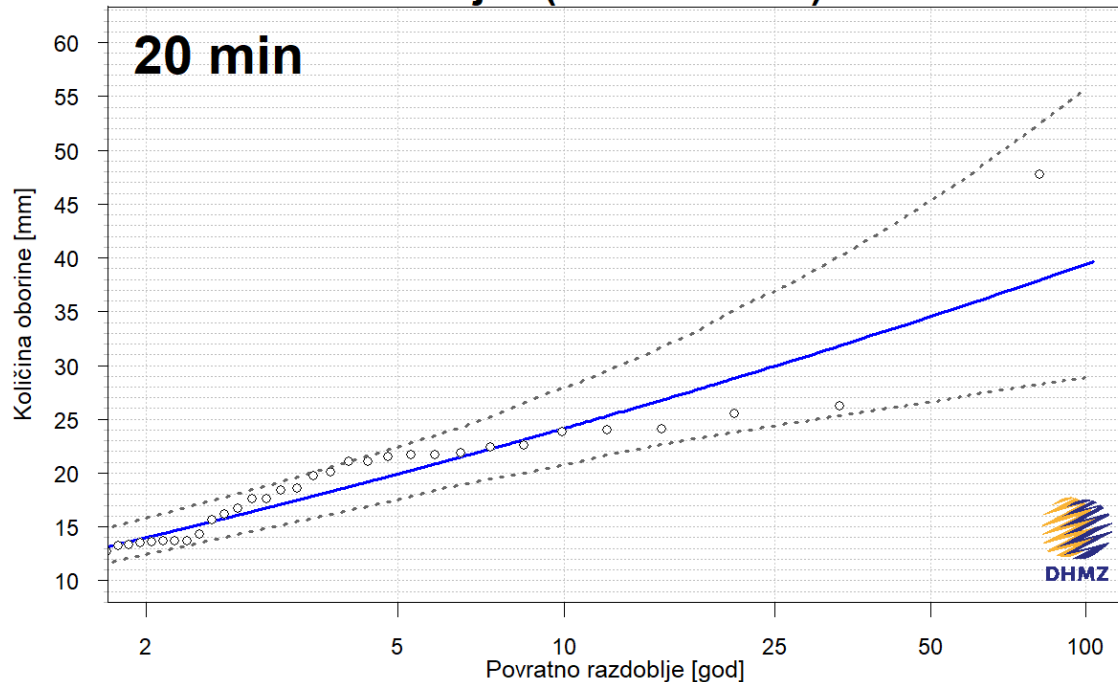


Slika 1. Procjene maksimalnih godišnjih količina oborine za različita povratna razdoblja (plava krivulja) i odgovarajući donji i gornji 95%-tni intervali pouzdanosti (crtkane krivulje) za trajanje **5 minuta**, izračunate pomoću razdiobe GEV



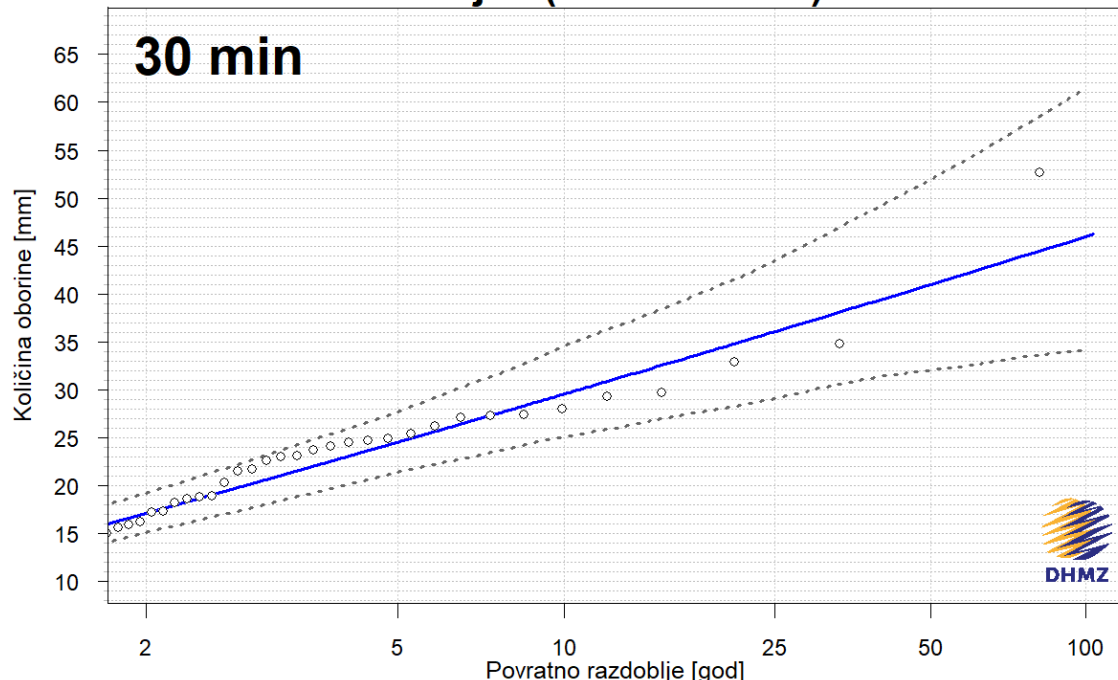
Slika 2. Procjene maksimalnih količina oborine za različita povratna razdoblja (plava krivulja) i odgovarajući donji i gornji 95%-tni intervali pouzdanosti (crtkane krivulje) za trajanje **10 minuta**, izračunate pomoću razdiobe GEV

Osijek (1961. – 2020.)



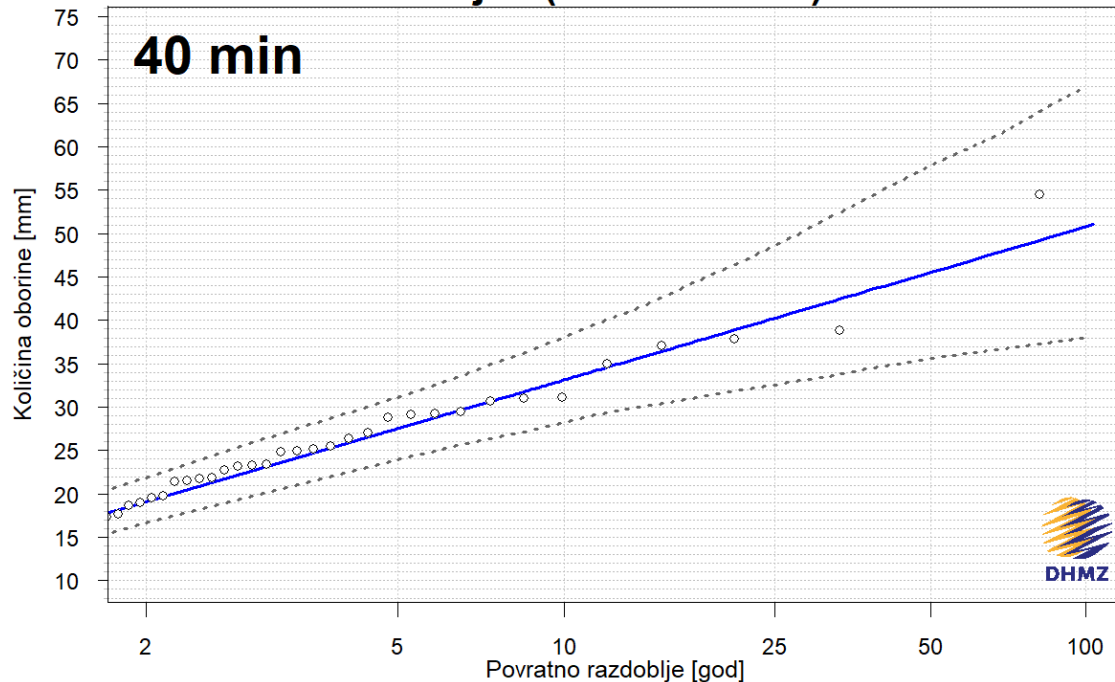
Slika 3. Procjene maksimalnih godišnjih količina oborine za različita povratna razdoblja (plava krivulja) i odgovarajući donji i gornji 95%-tni intervali pouzdanosti (crtkane krivulje) za trajanje **20 minuta**, izračunate pomoću razdiobe GEV

Osijek (1961. – 2020.)



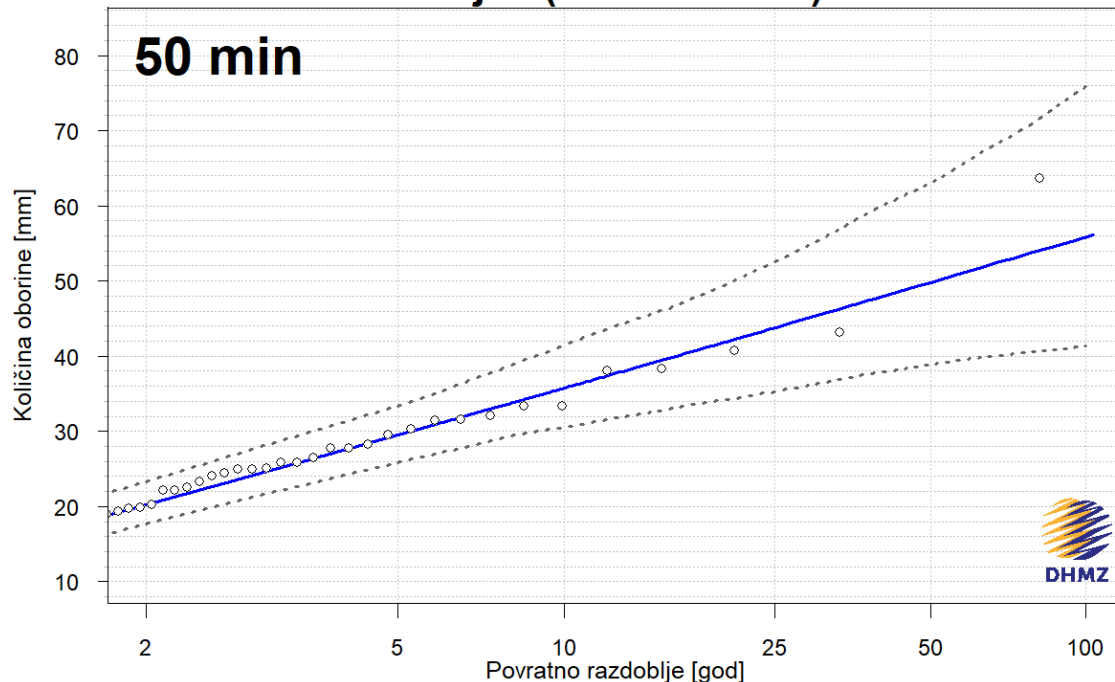
Slika 4. Procjene maksimalnih godišnjih količina oborine za različita povratna razdoblja (plava krivulja) i odgovarajući donji i gornji 95%-tni intervali pouzdanosti (crtkane krivulje) za trajanje **30 minuta**, izračunate pomoću razdiobe GEV

Osijek (1961. – 2020.)

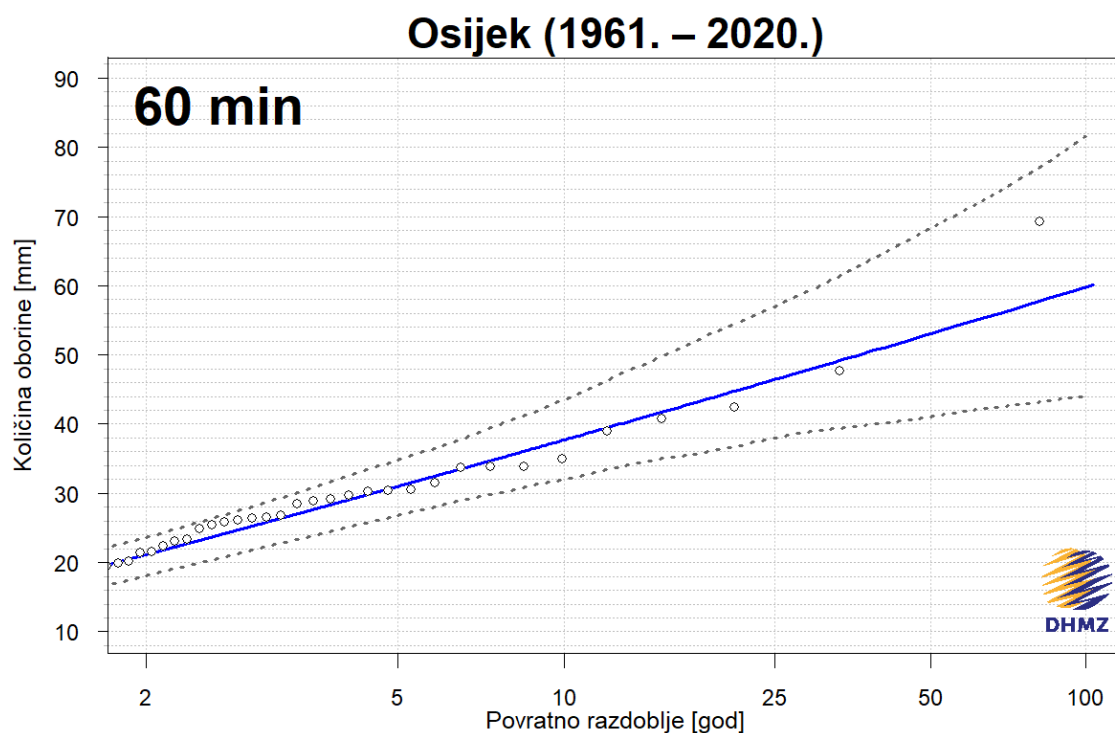


Slika 5. Procjene maksimalnih godišnjih količina oborine za različita povratna razdoblja (plava krivulja) i odgovarajući donji i gornji 95%-tni intervali pouzdanosti (crtkane krivulje) za trajanje **40 minuta**, izračunate pomoću razdiobe GEV

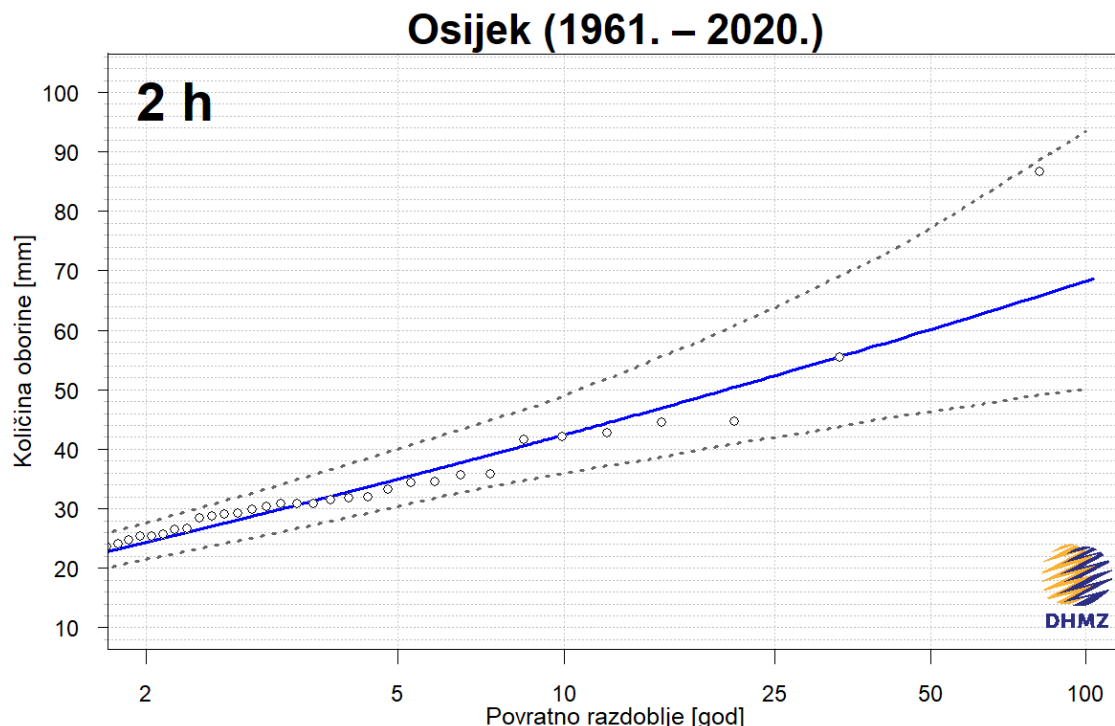
Osijek (1961. – 2020.)



Slika 6. Procjene maksimalnih godišnjih količina oborine za različita povratna razdoblja (plava krivulja) i odgovarajući donji i gornji 95%-tni intervali pouzdanosti (crtkane krivulje) za trajanje **50 minuta**, izračunate pomoću razdiobe GEV

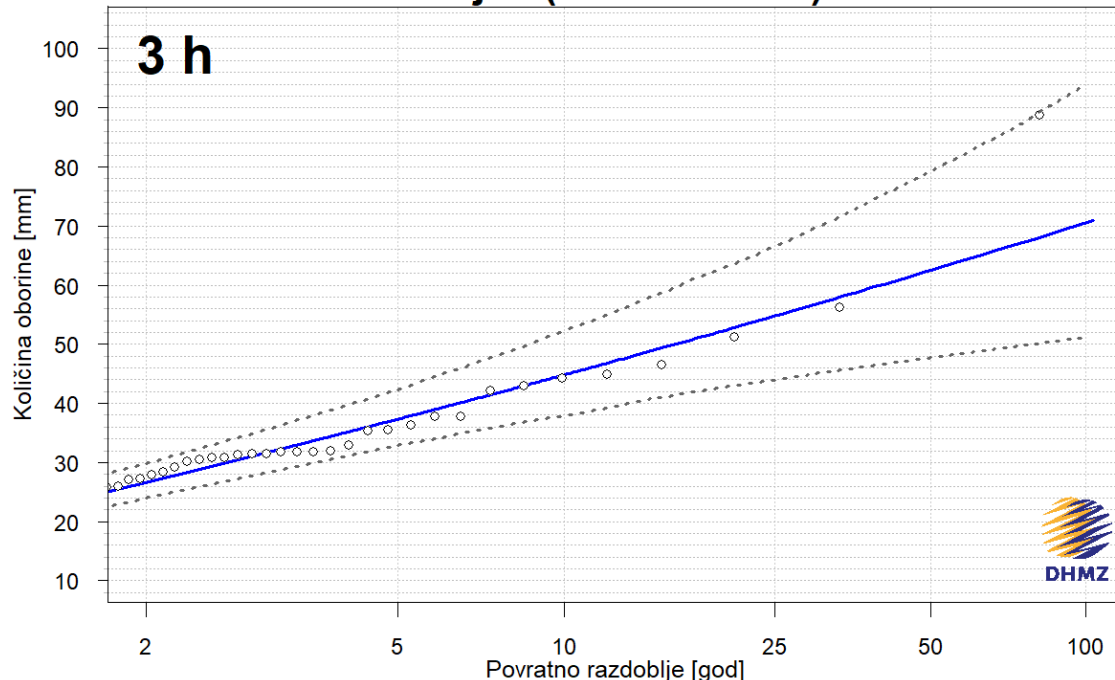


Slika 7. Procjene maksimalnih godišnjih količina oborine za različita povratna razdoblja (plava krivulja) i odgovarajući donji i gornji 95%-tni intervali pouzdanosti (crtkane krivulje) za trajanje **60 minuta**, izračunate pomoću razdiobe GEV



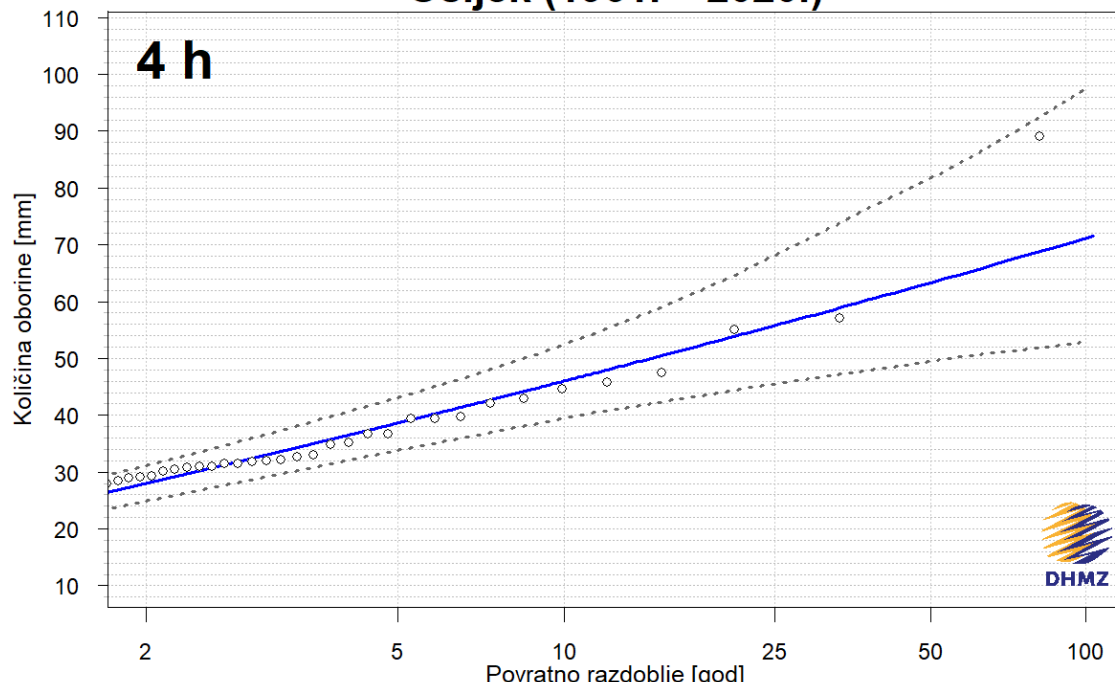
Slika 8. Procjene maksimalnih godišnjih količina oborine za različita povratna razdoblja (plava krivulja) i odgovarajući donji i gornji 95%-tni intervali pouzdanosti (crtkane krivulje) za trajanje **2 h**, izračunate pomoću razdiobe GEV

Osijek (1961. – 2020.)



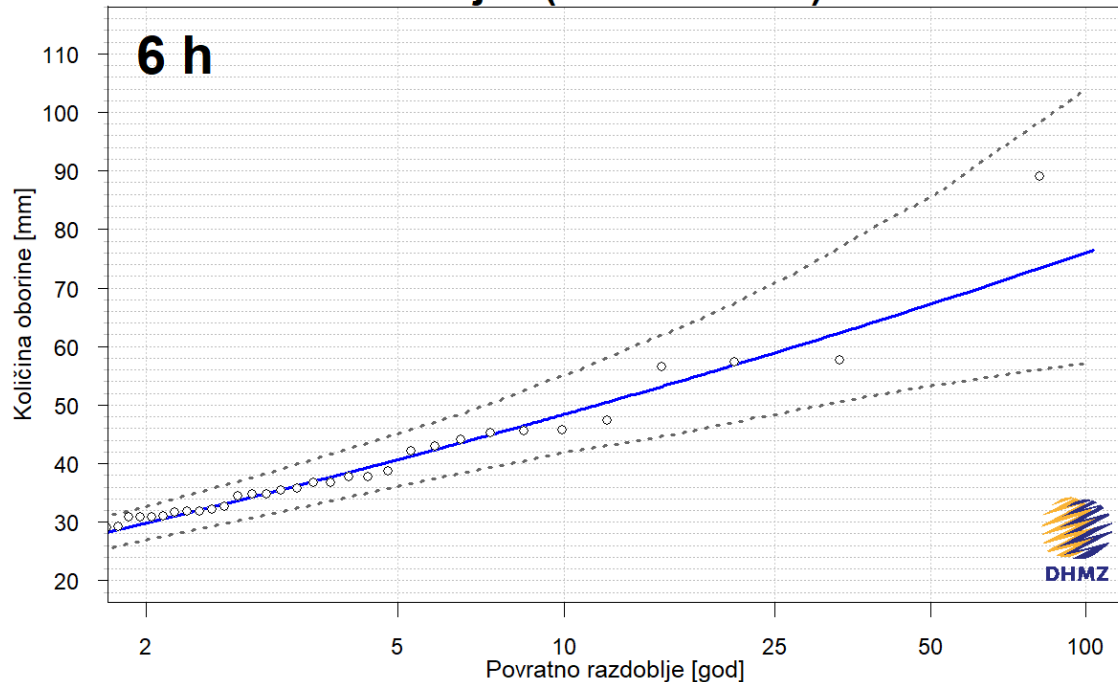
Slika 9. Procjene maksimalnih godišnjih količina oborine za različita povratna razdoblja (plava krivulja) i odgovarajući donji i gornji 95%-tni intervali pouzdanosti (crtkane krivulje) za trajanje 3 h, izračunate pomoću razdiobe GEV

Osijek (1961. – 2020.)



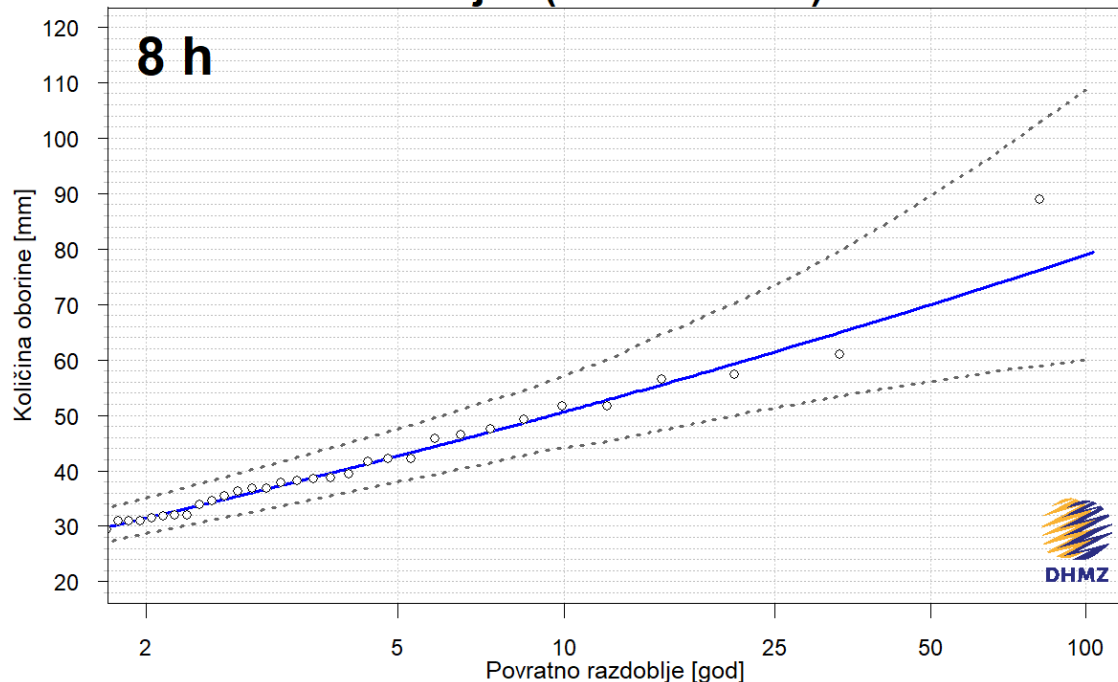
Slika 10. Procjene maksimalnih godišnjih količina oborine za različita povratna razdoblja (plava krivulja) i odgovarajući donji i gornji 95%-tni intervali pouzdanosti (crtkane krivulje) za trajanje 4 h, izračunate pomoću razdiobe GEV

Osijek (1961. – 2020.)



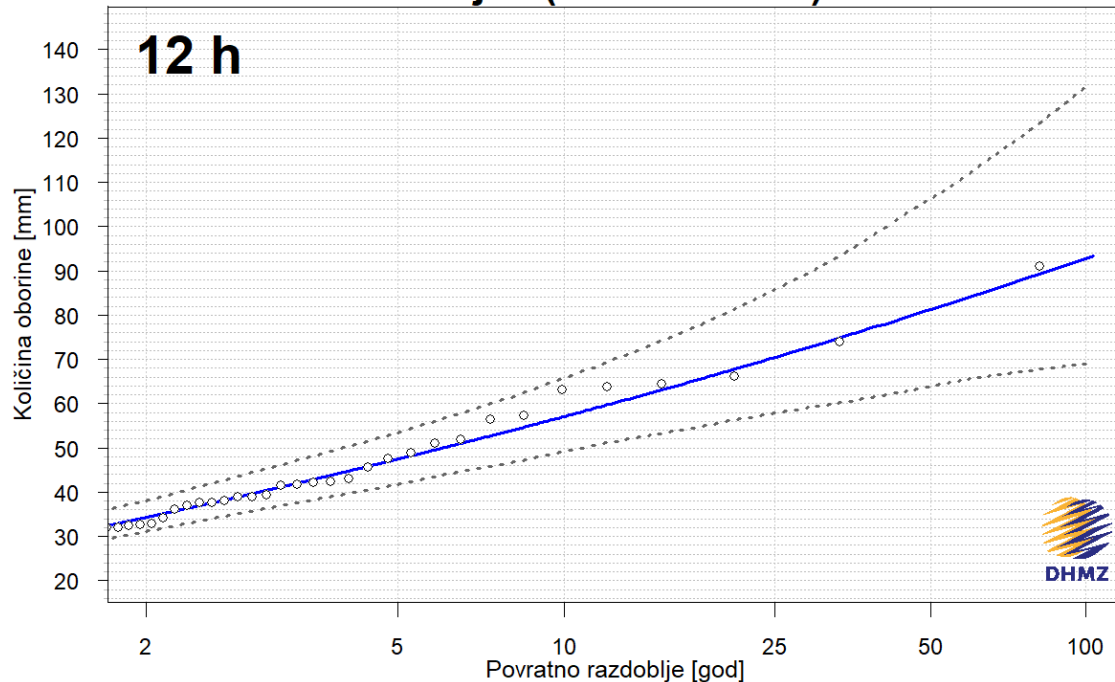
Slika 11. Procjene maksimalnih godišnjih količina oborine za različita povratna razdoblja (plava krivulja) i odgovarajući donji i gornji 95%-tni intervali pouzdanosti (crtkane krivulje) za trajanje **6 h**, izračunate pomoću razdiobe GEV

Osijek (1961. – 2020.)



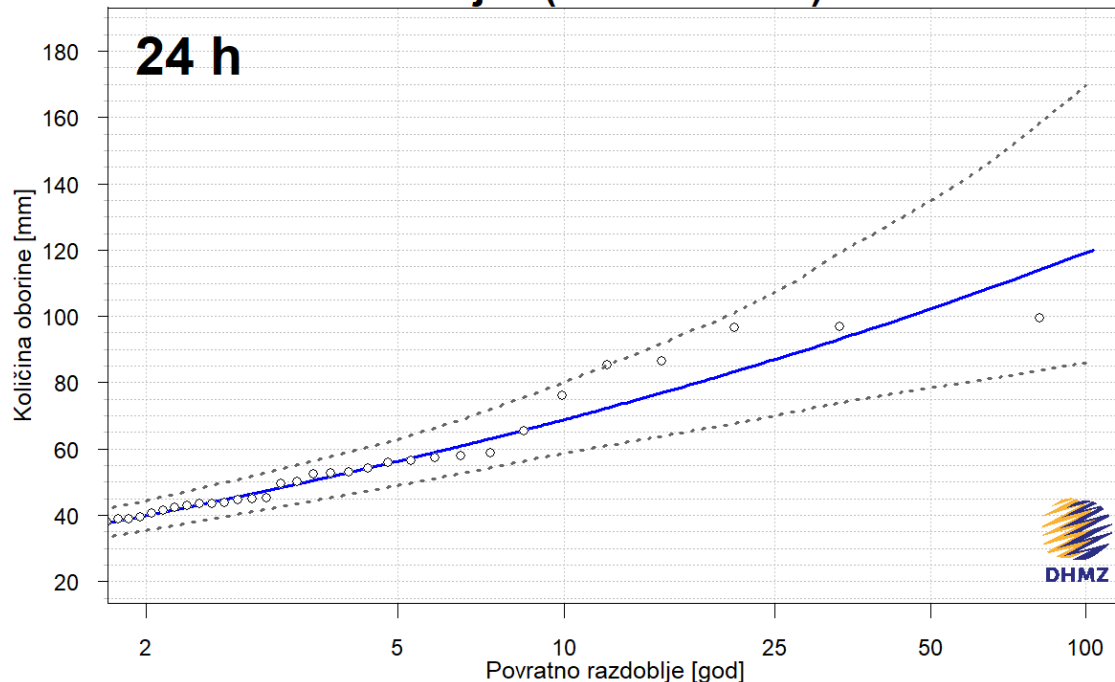
Slika 12. Procjene maksimalnih godišnjih količina oborine za različita povratna razdoblja (plava krivulja) i odgovarajući donji i gornji 95%-tni intervali pouzdanosti (crtkane krivulje) za trajanje **8 h**, izračunate pomoću razdiobe GEV

Osijek (1961. – 2020.)



Slika 13. Procjene maksimalnih godišnjih količina oborine za različita povratna razdoblja (plava krivulja) i odgovarajući donji i gornji 95%-tni intervali pouzdanosti (crtkane krivulje) za trajanje **12 h**, izračunate pomoću razdiobe GEV

Osijek (1961. – 2020.)



Slika 14. Procjene maksimalnih godišnjih količina oborine za različita povratna razdoblja (plava krivulja) i odgovarajući donji i gornji 95%-tni intervali pouzdanosti (crtkane krivulje) za trajanje **24 h**, izračunate pomoću razdiobe GEV